

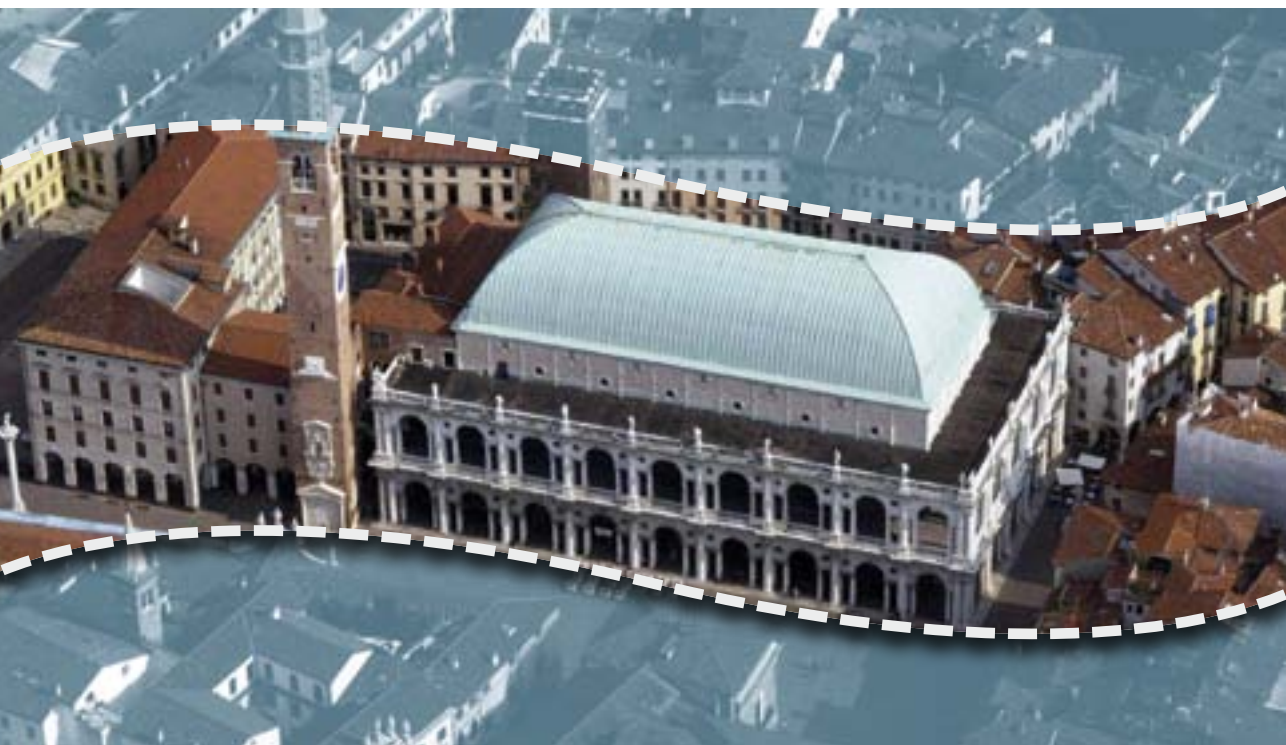
16^a Conferenza Nazionale **ASITA**

Federazione italiana delle **A**ssociazioni **S**cientifiche
per le **I**nformazioni **T**erritoriali e **A**mbientali

6-9 NOVEMBRE 2012

CENTRO CONGRESSI FIERA DI VICENZA

ATTI



SIFET
SOCIETÀ ITALIANA DI
FOTOGRAMMETRIA E TOPOGRAFIA


ASSOCIAZIONE ITALIANA
DI CARTOGRAFIA


ASSOCIAZIONE ITALIANA
DI TELERILEVAMENTO


INTERNATIONAL
EUROPEAN DIVISION
SEZIONE ITALIANA
Geographic
Information
Systems

SPONSOR



PATROCINI



REGIONE del VENETO



Provincia di Vicenza



Comune di Vicenza



Agenzia Regionale per la Prevenzione e Protezione Ambientale del Veneto



Ordine dei Geologi Regione del Veneto



Consiglio Nazionale Geometri e Geometri Laureati



Consulta Regionale Geometri e Geometri Laureati del Veneto



ORDINE DEGLI ARCHITETTI
PIANIFICATORI, PAESAGGISTI
E CONSERVATORI
DELLA PROVINCIA DI VICENZA



UNIVERSITÀ
DEGLI STUDI
DI PADOVA



Università IUAV
di Venezia

Organi ASITA

CONSIGLIO DIRETTIVO (CD)

Luciano SURACE (<i>Presidente</i>)	Università degli Studi di Firenze
Giuseppe SCANU (<i>Vice-Presidente</i>)	Università degli Studi di Sassari
Serafino ANGELINI (<i>Consigliere</i>)	Litografia Artistica Cartografica
Piero BOCCARDO (<i>Consigliere</i>)	Politecnico di Torino
Alessandro CAPRA (<i>Consigliere</i>)	Università degli Studi di Modena
Andrea FAVRETTO (<i>Consigliere</i>)	Università degli Studi di Trieste
Paola FILIPPI (<i>Consigliere</i>)	Exelis Visual Information Solutions
Mario A. GOMARASCA (<i>Consigliere</i>)	CNR - IREA, Milano
Claudio MINGRINO (<i>Consigliere</i>)	Intergraph Italia
Livio PINTO (<i>Consigliere</i>)	Politecnico di Milano
Mauro SALVEMINI (<i>Segretario</i>)	Università "La Sapienza" Roma
Franco VICO	Politecnico di Torino

CONSIGLIO SCIENTIFICO (CS)

Sergio FARRUGGIA (<i>Presidente</i>)	Consiglio Direttivo AM/FM GIS
Giuseppe BORRUSO (<i>Consigliere</i>)	Università degli Studi di Trieste
Gherardo CHIRICI (<i>Consigliere</i>)	Università degli Studi del Molise
Maria A. DESSENA (<i>Consigliere</i>)	Ente acque della Sardegna (ENAS)
Stefano GANDOLFI (<i>Consigliere</i>)	Università degli Studi di Bologna
Giovanni MAURO (<i>Consigliere</i>)	Università degli Studi di Trieste
Beniamino MURGANTE (<i>Consigliere</i>)	Università degli Studi della Basilicata
Alessandro NOBILI (<i>Consigliere</i>)	Istituto Idrografico della Marina
Fulvio RINAUDO	Politecnico di Torino
Livio ROSSI	SIN
Giannina SANNA	Università degli Studi di Cagliari
Monica SEBILLO (<i>Consigliere</i>)	Università degli Studi di Salerno

SEGRETERIA ORGANIZZATIVA

Piazzale Morandi 2, 20121 Milano
Tel. 039 2847755, Fax 039 2843722
Cell. 329 9860457
E-mail: segreteria@asita.it

INDIRIZZO INTERNET

www.asita.it

Indice

RELAZIONI PRESENTATE

Osservazioni SAR durante l'evento eccezionale di Bora di inizio Febbraio 2012 <i>M. Adamo, G. De Carolis, C. Fragiaco, S. Morelli, F. Parmiggiani, M. Bastianini</i>	3
Il sistema informatico di gestione e pubblicazione degli strumenti di pianificazione urbanistica del Comune di Bologna <i>P. Africani, C. Bizzarri, A. Cigarini, E. Ferrari, L. Lorenzini, A. Minghetti, E. Paselli, M. Poggiali, S. Scagliarini</i>	11
Monitoraggio topografico e fotogrammetrico della cupola del teatro Massimo <i>M. Allegra, G. Dardanelli, V. Gianmarresi, P. Orlando, B. Villa</i>	19
INSPIRE National Contact Point in Italia e il monitoring 2012 <i>F. Annunziata, S. Costabile, R. Cresca, C. Terzani, C. Cipolloni, M. Munafò, F. Piva</i>	31
Palmari GPS nella gestione e nel controllo del Gis del verde di Milano <i>A. Antonelli, R. Gusti, F. Guzzetti, A. Privitera, P. Viskanic</i>	37
Analisi della temperatura superficiale derivata da serie temporali di dati MODIS <i>M. Antoninetti, D. Stroppiana, P.A. Brivio</i>	45
Esperienze di monitoraggio topografico di grandi frane: i casi di Gimigliano e Maierato <i>G. Artese, M. Perrelli, S. Artese, F. Manieri, F. Principato</i>	53
Cartografia storica della città dell'Aquila come supporto allo studio di edifici danneggiati dal sisma <i>R. Baglioni, V. Baiocchi, D. Dominici, M.V. Milone, M. Mormile</i>	61
Accuratezza e precisione di modelli di georeferenziazione applicati alle cartografie storiche <i>V. Baiocchi, K. Lelo, M.V. Milone, M. Mormile</i>	71
Estrazione di DSM da stereocoppie e triplette PRISM <i>V. Baiocchi, M.V. Milone, M. Mormile, F. Palazzo</i>	77
Estrazione della linea di riva istantanea da immagini satellitari ad alta risoluzione ottiche e radar <i>V. Baiocchi, M.V. Milone, M. Mormile, F. Palazzo</i>	85
Progettazione di database georiferito a scala provinciale per la tutela ambientale <i>V. Baiocchi, P. Camuccio, A. Ceglia, L. Liso, M.V. Milone, M. Mormile, A. Paolini</i>	93
Conoscere il passato per governare il presente: un confronto tra cartografia storica e moderna per lo studio del centro di Roma <i>V. Baiocchi, K. Lelo, M.V. Milone, M. Mormile, E. Tanga</i>	99
La cittadella di Gozo a Malta. Strategie di restauro e di valorizzazione del sistema di fortificazione maltese <i>M. Balzani, F. Ferrari, F. Violi</i>	107
Implementazione di PostgreSQL-PostGIS per l'analisi di immagine satellitare: test di applicabilità per la batimetria marina <i>A. Banni, M. Deidda</i>	115
Studio degli effetti dell'intrusione del cuneo salino sulla vegetazione costiera mediante dati satellitari <i>M. Barbarella, M. De Giglio, A. Svantaggiato</i>	121
Confronto fra l'archivio dei fabbricati (AdT) e il censimento degli edifici (ISTAT): sinergie a valore aggiunto tra istituzioni pubbliche <i>A. Barbarisi, D. Fardelli, S. Talice</i>	129

Individuazione di discariche mediante segmentazione del dato satellitare <i>V. Barrile, G. Bilotta, G.M. Meduri</i>	137
Integrazione di TLS e termografia per la caratterizzazione morfometrica <i>V. Barrile, F. Ieracitano, G.M. Meduri</i>	143
Caratterizzazione ed indagini in ambito archeologico con GPR e TLS <i>V. Barrile, G.M. Meduri, G. Angiulli, D. De Carlo, T. Isernia</i>	151
Restauro e valorizzazione dei centri storici dopo il sisma del 2009: un GIS 3D per il progetto di reintegrazione delle lacune urbane <i>C. Bartolomucci, D. Bonzagni, I. Trizio</i>	159
Strumenti GIS per il supporto agli studi storici: una proposta per l'innovazione dei metodi di ricerca <i>R. Barzagli, D. Carrion, F. Migliaccio, G. Minini, C. Zambrano</i>	167
Impatto della correzione ortometrica sulla chiusura di linee di livellazione geometrica <i>R. Barzagli, B. Betti, D. Carrion, G. Gentile, R. Maseroli, F. Sacerdote</i>	171
La rete dei punti di contatto regionali del Progetto DORIS_Net: un ponte tra domanda e offerta dei servizi GMES nelle regioni europee <i>A.E.M. Basoni, P. Carrara, A. L'Astorina, A. Rampini</i>	175
Analisi GIS del Central Business District di Sassari. Visualizzazioni cartografiche <i>S. Battino, G. Borruso</i>	183
I vantaggi dell'impiego di un sistema GIS nella gestione dei dati e della cartografia in merito a monitoraggi in un SIN da bonificare <i>S. Bellagamba, F. Paglietti, B. Conestabile Della Staffa</i>	191
Misura del diagramma d'irradiazione di una antenna mediante l'utilizzo di un sistema UAV <i>H. Bendea, A. Cina, A. Lingua, P. Maschio, A. Olivieri, M. Piras, G. Virone</i>	201
Un SIT per la gestione, e la conservazione della biodiversità nelle dune costiere. Il caso di MAESTRALE (LIFE 10NAT/IT/000262) <i>F. Berardo, M.L. Carranza, G. Ciccorelli, S. Del Vecchio, S. Fusco, F. Iannotta, A. Loy, F. Roscioni, A. Svanisci</i>	203
Tecniche Laser Scanner per la rappresentazione dei beni culturali: il rilievo dell'apparato scultoreo della Torre Ghirlandina di Modena <i>E. Bertacchini, A. Capra, C. Castagnetti, R. Rivola, I. Toschi</i>	211
Aggiornamento topografico del Geodb con l'utilizzo di una rete geodetica <i>E. Berti, P.F. Costantini, F. Pilastro</i>	213
Alluvione a Vicenza novembre 2010: Rilievo, monitoraggio e rappresentazione di fenomeni naturali e antropici <i>E. Berti, L. Beggiato, R. Ardini, M. Missaglia, S. De Boni</i>	225
Il progetto HELI-DEM: risultati di cross-validazione e validazione per i DTM transalpini <i>L. Biagi, M.A. Brovelli, A. Campi, M. Cannata, L. Carcano, M. Credali, A. Croci, P. Dabove, M. Gilardoni, A. Lucchese, A. Manzano, F. Sansò, G.B. Siletto, C. Taglioretti</i>	235
Un approccio digitale non convenzionale allo studio di una carta pregeodetica <i>G. Bitelli, S. Cremonini, G. Gatta</i>	237
Aspetti applicativi nell'uso della termografia aerea per la mappatura delle dispersioni termiche in ambito urbano <i>G. Bitelli, R. Blanos, P. Conte, F. Coren, E. Mandatici</i>	245
Progetto pilota per la formazione di crisis mappers e la produzione di mappe post evento da dati multisensore <i>P. Boccardo, F. Chiabrando, A. Facello, L. Gnani, A. Lingua, P. Maschio, F. Pasquale, A. Spanò</i>	253

Analisi di dati laser scanner terrestre per la valutazione del rischio potenziale da instabilità di una parete rocciosa sulla Costa di Serravalle (Vittorio Veneto, TV) <i>A. Bondesan, S. Busoni, F. Coren, F. Ferrarese, R. Francese</i>	261
Ricerca di un optimum nell'aggiornamento della Carta Tecnica Regionale Numerica e DB geografico presso il B.I.M. dell'Adige della Provincia di Verona <i>N. Bonuzzi, A. Cavalli, G. Frigerio, M. Fondelli, M. De Gennaro</i>	269
Tecniche di telerilevamento integrate e GIS a supporto della stima del potenziale fotovoltaico dei tetti nel comune di Avellino <i>F. Borfecchia, L. De Cecco, S. Martini, M. Pollino, L. La Porta, A. Marucci, E. Caiaffa</i>	277
Valutazione del sensore aereo TABI per lo studio delle dispersioni energetiche degli edifici <i>M. Boschetti, A. Crema, G. Ruggieri, G. Maffeis, L. Geronimi, F. Zucca</i>	287
Valutazione di dati LIDAR per la stima di parametri dendrometrici in soprassuoli coetanei di pino domestico <i>L. Bottai, L. Arcidiaco, M. Chiesi, F. Maselli</i>	297
Caratterizzazione delle proprietà ottiche delle acque costiere del Mar Adriatico per il progetto CLAM-PHYM <i>F. Braga, M. Bresciani, E. Matta, C. Giardino, C. Bassani, G. De Carolis, L. Alberotanza, C. Ananasso</i>	305
Studio delle fioriture di cianobatteri attraverso le tecniche di telerilevamento <i>M. Bresciani, C. Giardino, S. Kratzer, E. Matta, F. Braga, G. Morabito, M. Bartoli, N. Strömbeck</i> ..	313
Sistemi Informativi Architettonici per la gestione, tutela e fruizione dell'edilizia storica <i>S. Brusaporci, M. Centofanti, R. Continenza, I. Trizio</i>	315
Rilievi multibeam per il monitoraggio morfo-batimetrico della coltivazione di bacini di cava sottofalda <i>S. Busoni, R. Francese, M. Giorgi, A. Bondesan</i>	323
Rilievo speditivo 3d con tecnica fotogrammetrica ZSCAN EVO dell'area templare di Scoglietto (Alberese - Gr) <i>D. Caldarelli, F. Ceccaroni, P. Nannini, A. Sebastiani</i>	331
Integrazione dei dati EGNOS nel software goGPS: analisi dei miglioramenti ottenuti nel posizionamento cinematico con ricevitori di basso costo <i>S. Caldera, M.C. de Lacy, A. Herrera, E. Realini, M. Reguzzoni</i>	339
DBT e INSPIRE: un percorso semplificato per i dati <i>G. Campanile</i>	345
Conservazione del futuro: fotovoltaico e tradizione paesaggistica mediterranea <i>A.R. Candura, O. De Paoli</i>	353
Beni culturali e spazio pubblico. L'asse storico Porta Romana – Ponte Vecchio – Porta San Gallo. Rilievo critico per la riqualificazione del paesaggio urbano <i>C. Capitano</i>	359
Impatti della direttiva INSPIRE sugli utenti di dati territoriali sulla biodiversità: il progetto europeo HABITATS <i>A. Cardillo, M. Gori, M. Guccione, M. Munafò</i>	369
World HERitage monitoring by Remote sEnsing (WHERE) <i>R. Carlucci, A. Di Iorio, M. Folegani, M. Marsella, A. Monteleone, S. Mantovani, A. Placidi, N. Straccia</i>	375
Metodologia di elaborazione di dati laser scanner per la generazione di modelli utili al calcolo strutturale <i>G. Caroti, A. Franconi, A. Piemonte</i>	383
Rilievi integrati della Basilica romanica di San Gavino a Porto Torres <i>G. Caroti, A. Piemonte, M. Bevilacqua</i>	391

La condivisione in streaming via web di un sito archeologico rilevato con laser scanner <i>L. Cavallari, T. Chiamone, M. Dierna, C. Mantelli, R. Paderni, G.P.M. Vassena</i>	397
Il posizionamento dei sottoservizi con GPR: un approccio fotogrammetrico per il calcolo della traiettoria <i>N.E. Cazzaniga, D. Pagliari, L. Pinto, R. Roncella</i>	405
Mosaicatura e georeferenziazione di immagini iperspettrali <i>A. Cenedese, C. Dacquino, M. Moroni</i>	411
Prove sperimentali su stazioni totali motorizzate di precisione per il monitoraggio di deformazioni <i>G. Centi, D. Dominici, M. Elaiopoulos, F. Radicioni, A. Stoppini</i>	419
Un sistema quantitativo a supporto delle decisioni per la pianificazione territoriale: il caso Unione dei Comuni del Rubicone <i>E. Cerri, M. Roffilli</i>	425
Metodi di classificazione su dati multitemporali a media risoluzione geometrica per l'analisi delle trasformazioni di uso dei suoli <i>W. Cerull, B. Figorito, E. Tarantino</i>	433
Integrazione di metodologie per il monitoraggio dei corsi d'acqua <i>I. Chiaverini, D. Ostuni, L.B. Teruggi, M. Farenga</i>	439
Utilizzo di modelli bio-geo-chimici guidati da immagini telerilevate per stimare a scala nazionale i flussi di carbonio in ecosistemi forestali <i>G. Chirici, M. Chiesi, M. Pasqui, P. Corona, R. Salvati, A. Barbati, F. Lombardi, F. Maselli</i>	445
Sistema di Supporto decisionale per la conservazione della biodiversità minacciata nei sistemi agricoli. Il progetto DINAMO (Life NATIT00324) <i>G. Ciccorelli, M.L. Carranza, A. Stanisci, A. Loy, D. Marino, L. De Lisio, F. Berardo</i>	451
Sisma Abruzzo 2009: gestione tecnica dell'emergenza <i>G. Cifani, G. Cialone, A. Martinelli, A. Petracca, A. Lemme</i>	457
La redazione di un capitolato speciale d'appalto per le riprese LiDAR <i>V. Cima, M. Fondelli, M. Rumor, M. De Gennaro, A. Zampieri, U. Trivelloni</i>	463
Metodologie integrate tra rilievo e progetto: l'utilizzo delle scansioni LiDAR in ambiente BIM <i>A. Cina, A. Lingua, M. Piras, P. Dabove, P. Maschio, H. Bendea, G. Novello, M. Lo Turco, G. Cangialosi</i>	469
Le reti telematiche come strumento di diffusione della conoscenza: Il sito Unesco del centro storico di Napoli <i>F. Converti</i>	477
Integrazione di database spaziali multiscala in ambito urbano <i>E. Costamagna, A. Spanò</i>	483
Consolidamento delle coordinate dei Punti Fiduciali nel territorio del comune di Vicenza nei sistemi di riferimento cartografici in uso <i>P.F. Costantini</i>	491
Estrazione di informazioni agronomiche tramite l'analisi dell'andamento temporale di indici vegetazionali per la mappatura automatica di aree agricole <i>A. Crema, G. Manfron, M. Boschetti, R. Confalonieri</i>	501
La sperimentazione di una rete GNSS transfrontaliera per il posizionamento NRTK <i>A. Croci, P. Dabove, A.M. Manzano, C. Taglioretti, L. Biagi, M.G. Visconti</i>	509
FreeGIS.net – Dati e strumenti geografici liberi <i>F. D'Alesio, S. Farruggia</i>	511
Il rischio Sinkhole: gli sprofondamenti di natura antropica nel centro storico di Velletri (RM) <i>V. D'Aniello</i>	515

Sull'impiego del monitoraggio geomatico per la stima dei parametri nei modelli di calcolo degli spostamenti strutturali <i>M.G. D'Urso, P. Russo, S. Sessa</i>	523
Rilievo delle infrastrutture di drenaggio urbano e modellizzazione dei flussi nel bacino fognario di Mestre - Via Torino (Venezia, Italia) <i>P. Dalla Vecchia, E. Conchetto, R. Francese</i>	531
Riorganizzazione territoriale degli Uffici del Giudice di Pace <i>G. Dardanelli, A. Ferrara, Giuseppe Sortino</i>	539
Monitoraggio della diga "Castello" di Bivona (AG) con tecniche GNSS <i>G. Dardanelli, V. Franco, N. Perfetti, L. Puccio</i>	547
Conservazione e valorizzazione dei castelli del Salento (Puglia) attraverso censimento in ambiente GIS <i>M. Delli Santi</i>	555
Il contributo dell'interferometria radar satellitare per l'identificazione e caratterizzazione dei fenomeni franosi a differenti scale d'indagine <i>A. De Agostini, A. Cantone, M. Defilippi, M. Floris, R. Genevois, P. Pasquali, P. Riccardi, G. Stevan, G. Tessari</i>	563
Le Classi del Catalogo dei Dati Territoriali: il ruolo dei Comuni <i>M. De Gennaro, E. Berti, A. Corò, G. Zanata Ventura, N. Poles, A. Salvador, F. Ronsisvalle, R. Bianchin, P. Barbieri, M. Rumor</i>	571
L'applicazione della Metodologia GeoUML per la produzione dei DB Geotopografici: l'esperienza della Regione del Veneto <i>M. De Gennaro, A. Zampieri, U. Trivelloni, P. Milan</i>	579
Monitoraggio geofisico di aree sottomarine in Mare Adriatico <i>N. De Nigris, M. Aguzzi, G. Fabi, S. Manoukian, M. Preti</i>	587
Memoria e oblio. Scoperta e rilievo digitale dell'anamorfoso murale di J.-F. Nicéron <i>A. De Rosa, A. Bortot, C. Boscaro, C. Monteleone, E. Trevisan</i>	595
Valorizzazione delle fonti cartografiche storiche sull'uso del suolo per il governo del territorio in Toscana <i>M. De Silva, G. Tarchi, C. Ciampi, M. Ercolini, E. Loi, F. Lucchesi, F. Nardini, I. Scatarzi</i>	603
Estrazione di batimetria da immagini del sensore WorldView2: stima dell'accuratezza e della precisione <i>M. Deidda, G. Sanna, G. Deiana</i>	611
Proposta di una Carta di interesse naturalistico, geoturistico e culturale lungo il tracciato del Trenino Verde (Sardegna centro-orientale) <i>F. Di Gregorio, P. Frongia, C. Gaviano</i>	619
Il laser scanner terrestre per il rilevamento e la modellazione di zone "instabili": il versante sottostante il Tempio di Giunone (Agrigento) <i>F. Di Salvo, M. Lo Brutto</i>	627
Un geodatabase per i beni culturali ed ambientali del Parco Nazionale del Gran Sasso e Monti della Laga <i>A. Di Somma</i>	635
Un atlante delle trasformazioni del paesaggio toscano. La valorizzazione del patrimonio dei rilievi aerofotografici storici <i>M. Ercolini, E. Loi, C. Ciampi, M. De Silva, F. Lucchesi, F. Nardini, I. Scatarzi</i>	643
Analisi dell'erosione costiera nel delta del Po dal 1933 al 2008 mediante aero-fotogrammetria multi-temporale <i>M. Fabris, V. Achilli, M. De Gennaro, A. Menin, A. Zampieri</i>	651

Tecniche ottiche e laser per l'acquisizione di fratture ossee in ambito bioarcheologico <i>E. Faresin, M. Turchetto, G. Salemi, G. Concheri, R. Meneghello, G. Savio, A. Canci, L. Salzani, M. Cupitò</i>	659
Semplificazione e ottimizzazione degli strumenti GIS per il governo del territorio <i>M. Fioretto, M. Allegrini, F. Carollo, V. Strapazzon, A. Carretta</i>	667
Realizzazione di un WebGis a supporto della pianificazione urbana e territoriale per il Comune di Pomezia <i>L. Fiumi, S. Tocci</i>	673
Stima di volumi legnosi forestali con dati fotogrammetrici telerilevati da UAV su piccole superfici: un caso di studio in Trentino <i>A. Floris, F. Clementel, G. Colle, F. Gubert, L. Bertoldi, G. De Lorenzi</i>	681
Applicazioni GIS a servizio dei cittadini per migliorare la raccolta differenziata in Provincia di Torino <i>A. Fortunato, G. Gollo, S. Migliore, M. Pizzolato, E. Sarzotti, A. Ballocca, S. Giorgi, E. Bon</i>	689
Banche dati geoarcheologiche della laguna e della città di Venezia <i>L. Fozzati, P. Furlanetto, A. Bondesan</i>	697
Indagini termografiche e trasformazioni architettoniche nelle chiese del centro storico e nel territorio di Siliqua (Sardegna sud-occidentale) <i>P. Frongia, F. Di Gregorio, G. Piras</i>	703
Rapid mapping per l'analisi e la gestione del rischio radiologico generato da sorgenti orfane <i>R. Gallo, P. De Angelis, N. Gallo, A. Malizia, A. Fiduccia, F. D'Amico, R. Fiorito, A. Gucciardino, M. Richetta, C. Bellecci, P. Gaudio</i>	711
L'analisi di consistenza di archivi di reti di stazioni permanenti GNSS per la valutazione della qualità di un servizio di posizionamento in tempo reale: PAT-NET_GNSS <i>S. Gandolfi, L. Tavasci</i>	717
Procedure automatiche per il monitoraggio quasi real time di reti di stazioni permanenti mediante approccio Precise Point Positioning <i>S. Gandolfi, L. Poluzzi</i>	723
Griglie di dati GOCE calcolate tramite l'approccio space-wise <i>A. Gatti, F. Migliaccio, M. Reguzzoni, F. Sansò</i>	729
Unione dei geoidi italiano e svizzero con l'utilizzo di dati GOCE: metodologia e risultati <i>M. Gilardoni, D. Sampietro, M. Reguzzoni</i>	735
Esperienze di telerilevamento di prossimità con immagini multispettrali acquisite da drone <i>R. Gini, D. Passoni, L. Pinto, G. Sona</i>	743
Le misure dell'impegno di suolo per finalità insediative. Un modello di valutazione per la Regione Toscana <i>B. Giusti, M. Angeletti, F. Lucchesi, C. Nostrato</i>	745
La rappresentazione per la valorizzazione della città <i>A. Giordano, C. Monteleone, I. Friso, E. Faresin</i>	753
Copertura nevosa nella provincia del Verbano-Cusio-Ossola: analisi automatizzata di una serie storica MODIS <i>D. Godone, G. Filippa, S. Terzago, M. Freppaz, S. Fratianni, G. Garnero, E. Rivella, A. Salandin, S. Barbero</i>	761
Web-GIS per la mappatura dell'abbandono dei rifiuti <i>S. Greco, G. Maffeis, G. Ghiringhelli, E. Amodeo, P. Landini</i>	767
Reticolo idrico minore: un GIS integrato al Database Topografico e alla mappa catastale <i>F. Guzzetti, M. Marchetti, A. Pasquinelli, P. Viskanic</i>	775

Soluzioni software per i SIRA: aspetti tecnici e normativi <i>C. Iannucci, M. Presutti, M. Ricci, V. Sambucini, A. Scocca, G. Viola</i>	783
La salinizzazione in Iraq: analisi del fenomeno tramite immagini satellitari <i>F. Immordino, S. Costanzini, F. Despini, S. Teggi</i>	791
La piattaforma Platform GIS <i>F. Iroldi, G. Cavaliere</i>	799
Cartografia geochimica ambientale: tecniche classiche vs exploratory data analysis. Il caso del cromo nell'Appennino Tosco-Romagnolo <i>V. Lancianese</i>	807
Monitoraggio satellitare della qualità delle acque dei mari Toscani: l'attività del progetto MOMAR <i>C. Lapucci, F. Maselli, C. Brandini, L. Massi, C. Nuccio, A. Ortolani, B. Gozzini, F. Polonelli</i>	809
SILVA SILA NET: un SIT per la valorizzazione del paesaggio Silano (Calabria, Italia) <i>S. Larosa, D. Uzunov, A. Mazzei, P. Brandmayr, G. Roma, F. Papparella, C. Gangale</i>	817
WebGIS per il censimento dei fabbisogni e dei consumi energetici degli edifici di proprietà della Pubblica Amministrazione Locale <i>A. La Manna, A. Ferrara, L. Alferi, G. Fasano, P. Morgante, R. Lanzafame</i>	827
La geomatica nella cultura di interazione fra le professioni per il supporto a problemi planetari emergenti <i>M.M. Langfelder, E. Zanaboni</i>	835
La modellazione 3D nel controllo dell'inquinamento ambientale da agenti fisici <i>L. Leone, D. Laudani Fichera, G. Pulvirenti, M. Leone, P. Spicuzza</i>	843
Il progetto NEWFOR - NEW technologies for a better mountain FORest timber mobilization <i>E. Lingua, M. Pellegrini, F. Pirotti, S. Grigolato, M. Garbarino, R. Motta, B. Comini, A. Wolynski</i>	851
Un modello di rilievo integrato come piattaforma di prefigurazione e controllo delle trasformazioni del territorio. Il progetto di ripristino dell'Aviosuperficie di Piano Tardo (EN) <i>M. Liuzzo, S. Savarino</i>	859
Integrazione di strumenti GIS per l'autonotifica della presenza di amianto in Puglia <i>N. Lopez, V.F. Uricchio, G. Campobasso</i>	867
Prima analisi scientifico parametrica dell'area protetta di Monte Cucco (Umbria) per il riconoscimento di Geoparco U.E., attraverso l'ausilio del telerilevamento satellitare <i>F. Luciani, M. Pierantozzi, S. Rossi</i>	873
La rappresentazione cartografica dei caratteri dei paesaggi toscani <i>F. Lucchesi, C. Ciampi, M. De Silva, M. Ercolini, E. Loi, F. Nardini, I. Scatarzi</i>	887
BIOPOLE: un sistema di supporto alle decisioni (DSS) web-GIS per la localizzazione ottimale degli impianti a biomassa <i>G. Maffei, D. Roncolato, A. Cherubini, A. Bernardoni, S. Greco, A. Boccardi, A. Chiesa, M. Brolis, M. Fasano</i>	895
CO20 e la pianificazione energetica <i>G. Maffei, D. Roncolato, R. Gianfreda, G. Fedeli, S. Greco, L. Geronimi, A. Cherubini</i>	905
Un'applicazione per il monitoraggio del consumo di suolo <i>S. Malagesi, F. Baiocco, I. Marinosci, M. Munafò</i>	913
L'applicazione WebGIS Microzonazione Sismica sul portale cartografico della Provincia di Modena www.sistemonet.it <i>A. Manicardi, A. Fraulini, C. Ugoletti, B. Mengoli</i>	919
In volo sul passato: il Progetto Geomemories <i>A. Marchetti, E.J. Sheperd, M. Tesconi, A. Lugari</i>	925
Fotovoltaico su suolo agricolo: il caso Marchigiano <i>E. Marcheggiani, A. Galli, G. Paci, G. Santicchia, M. Bocci</i>	927

Una infrastruttura di dati territoriali open-source per la pianificazione territoriale conforme alle normative urbanistiche <i>G. Martirano, V. Gagliardi, F. Vinci, M. Gaccione, M. Zupi</i>	933
FIRE: un sistema di HOTSPOT detection per le regioni del Mediterraneo e dell’Africa <i>C. Marzo, R. Loizzo, L. Garramone, G. Priore, G. Guarino</i>	935
Valutazione spazializzata per la valorizzazione, tutela e pianificazione paesaggistica <i>D.E. Massimo, A. Barbalace, C. Fragomeni, A. Marzo Micale</i>	941
Mappatura delle macrofite acquatiche del lago di Garda tramite immagini MIVIS <i>E. Matta, M. Bresciani, C. Giardino, R. Bolpagni, G. Pellegrini, F. Braga</i>	949
Un approccio sistematico per l’analisi di mobilità tramite l’uso di immagini geolocalizzate <i>M. Meini, R. Nocera, G. Spinelli</i>	957
Elaborazione di indicatori sintetici di rischio del patrimonio scolastico pugliese <i>S. Milella, L. Guastamacchia</i>	963
Implementazione di servizi web per la valorizzazione della cartografia storica di Como: il progetto Web C.A.R.T.E. <i>M. Minghini</i>	971
Verso una biodiversità diffusa: la rete ecologica della Provincia di Pisa <i>F. Monacci, S. Cavalli, L. Mini, A. Panicucci, A. Sani</i>	979
Il catasto francese di Valdieri: da documento storico a risorsa digitale per il territorio <i>C. Monaco</i>	987
La realtà, la sua immagine e l’interpretazione geometrica: La chiesa di Santa Sofia a Padova <i>C. Monteleone</i>	995
Metodologie innovative per il supporto nella progettazione e l’analisi delle prestazioni di impianti ad energia solare a concentrazione ed eolici off-shore utilizzando immagini satellitari ottiche e SAR <i>M. Morelli, A. Masini, M.A.C. Potenza</i>	1001
Leica SmartNet Monitoring Service per il controllo in continuo di reti GNSS RTK e di reti GNSS per il monitoraggio di deformazioni <i>M. Mozzon, F. Matonti, A. Caligaris</i>	1007
Validazione della mappa europea delle aree impermeabili ad alta risoluzione a livello locale <i>M. Munafò, V. De Pasquale, D. Iasillo, V. Barbieri</i>	1013
Generalizzazione degli elementi della CTR Toscana e delle banche dati regionali per finalità paesaggistiche: una sperimentazione <i>F. Nardini, C. Ciampi, M. De Silva, M. Ercolini, E. Loi, F. Lucchesi, I. Scatarzi</i>	1021
Tre anni dopo il terremoto a L’Aquila: il monitoraggio di una emergenza che continua <i>F. Nebbia</i>	1029
Geomatica nei contesti investigativo e giudiziario (Luoghi di latitanza) <i>P. Nicolosi, D. Mazzaglia</i>	1037
Un atlante della periodizzazione della crescita insediativa Toscana <i>C. Nostrato, M. Angeletti, B. Giusti, F. Lucchesi, I. Scatarzi</i>	1041
Il sistema di gestione dati del progetto EnvEurope per il monitoraggio ecologico a lungo termine nella rete LTER <i>A. Oggioni, P. Carrara, T. Kliment, J. Peterseil, H. Schentz</i>	1049
Selettività degli incendi forestali in ambiente alpino <i>S. Oliveri, M. Pregnotato, G. Gerosa</i>	1059
Jeco guides. Una geo-piattaforma editoriale per la generazione di guide turistiche fruibili su smart phone <i>S. Oliveri, L. Garibaldo, F. Primatesta, C. Rossini, F. Sinopoli, M.L. Venuta</i>	1067

Mapping function troposferiche e loro effetti sulla stima GNSS <i>S. Paternostro, M. Chersich, D. Curone, M. Osmo</i>	1075
Fotogrammetria e Computer Science per Analisi e Visualizzazione dell'Archeologia degli Elevati <i>D. Peloso, P. Drap, D. Merad, J-M Boi, J. Seinturier, C. Reidinger, G. Vannini, M. Nucciotti, E. Pruno</i>	1083
Calcolo della rendita presunta degli immobili fantasma: contributo delle immagini aerofotogrammetriche da multicamere digitali oblique <i>M. Pepe, G. Prezioso, R. Santamaria</i>	1091
Procedure di controllo di reti GNSS per Servizi di Posizionamento a scala nazionale: il caso NetGEO Rete Topcon-Sokkia <i>N. Perfetti, P. Centanni, G. Fastellini, G. Molinelli, A. Pellegrinelli, G. Perrucci</i>	1097
Uno strumento per la definizione di indicatori multi scalari per l'esplicitazione delle relazioni tra componenti della città <i>S. Pili, S. Sini, E. Abis</i>	1103
Rilievo fotogrammetrico di parti dell'ospedale San Paolo a Savona <i>G. Pinto</i>	1111
GIS e Telerilevamento per l'assistenza umanitaria. Applicazioni nel Programma Alimentare Mondiale <i>L. Prades, A. Amparore</i>	1117
Una piattaforma webGIS per la mappatura degli eventi estremi in foresta in ambito alpino <i>M. Pregnolato, S. Oliveri, M. Pomatti, G. Gerosa</i>	1125
Integrazione per la gestione ottimale dei sistemi a rete <i>C. Ravenna, R. Avannati, A. Borzi, F. Di Salvo</i>	1133
Consumo del suolo, antropizzazione, alluvioni e reti ecologiche. Alcune considerazioni di metodo <i>L.S. Rizzo, R.G. Rizzo, P. Tizzani</i>	1141
Simulazioni di traffico veicolare e modello radiativo: una interpretazione congiunta <i>M. Roffilli</i>	1151
GeoNet: un software per la compensazione di reti topografiche integrate <i>L. Rossi, D. Sampietro, F. Sansò</i>	1157
Tecniche di analisi per la valutazione delle strategie di recupero urbano. Il caso della periferia di Quartu sant'Elena <i>V. Saiu, S. Pili, E. Abis</i>	1165
Prima e dopo il Parco: monitoraggio delle variazioni ambientali tramite dati Landsat multitemporali <i>R. Salvatori, P. Plini, G. Tondi</i>	1173
Web-gis storico-archeologico della Val di Vara <i>E. Salvatori, M. Baldassarri, P. Mogorovich</i>	1179
Land Change Modeler di IDRISI per la previsione CORINE 2006 e per la valutazione della copertura territoriale 1990-2006 <i>F. Saveriano, M. Zicarelli</i>	1187
Generalizzazione Automatica del DB50 IGM: i risultati della ricerca CARGEN <i>S. Savino, M. Rumor, S. Congiu, M. De Gennaro, A. Zampieri</i>	1195
Aspetti dell'innovazione digitale nelle pratiche di gestione del territorio. A proposito del rapporto tra cittadini e comuni <i>G. Scanu, C. Podda</i>	1201
Generalizzazione dell'Uso del Suolo ai fini paesaggistici <i>I. Scatarzi, M. Angeletti, C. Ciampi, M. De Silva, M. Ercolini, B. Giusti, E. Loi, F. Lucchesi,</i>	

<i>F. Nardini, C. Nostrato</i>	1211
Rilievo dinamico tridimensionale di ammassi granulari in movimento con tecniche fotogrammetriche <i>P. Scotton, D. Dallavalle</i>	1219
Geostatistica per le rinnovabili: vocazione territoriale del Minieolico in Veneto <i>A. Seravalli</i>	1227
Simulazione e sistemi idroinformatici per la gestione della risorsa idrica <i>C. Schifani, I. Borsi, R. Rossetto</i>	1233
Piattaforma software per un turismo montano sicuro <i>G.L. Spoto, L. Cavallin, A. Frisiello, A. Lotito, F. Scullino, C. Marin</i>	1241
Utilizzo di Alberi Decisionali per la classificazione di aree urbanizzate <i>S. Steffenino, I. Angeluccetti, F. Disabato</i>	1249
Il Geoportale europeo INSPIRE parla 23 lingue <i>J. Stutte, J. Fitzke, M. Zotti</i>	1257
Database topografici e calamità naturali <i>L. Surace</i>	1263
Norme per la rappresentazione della Carta Gravimetrica d'Italia alla scala 1:50.000 <i>D. Tacchia, S. Grossi</i>	1277
Criteri per l'allestimento dei fogli CARG con geologia marina <i>D. Tacchia, S. Falcetti</i>	1283
Applicazione della tecnologia Field-Map in selvicoltura urbana: sviluppo di GIS per l'inventario e la gestione dei parchi storici <i>A.Tomao, V. Quatrini, M. Agrimi, R. Cartisano, W. Mattioli, D. Giuliarelli</i>	1289
Potenzialità del telerilevamento laser scanner aereo per la classificazione delle coperture forestali in funzione della forma di governo <i>D. Travaglini, F. Bottalico, G. Chirici, P. Corona, S. Nocentini</i>	1295
Itinerari in Lombardia: una piattaforma per la redazione e la fruizione su web <i>S. Urbisci, P. Milani</i>	1303
Tecniche di rilievo tridimensionale e rischio idrogeologico: condivisione in rete di dati in alta risoluzione LiDAR. Il caso di studio della Regione Veneto <i>G.P.M. Vassena, T. Chiamone, R.G. Rizzo, L.S. Rizzo, P. Tizzani</i>	1309
Il fotorilevamento per lo studio e il monitoraggio delle formazioni erbose rupicole calcicole o basofile dell'Alyso-Sedion albi <i>A. Velli, G. Pellis, G. Puppi, C. Ferrari, G. Pezzi</i>	1317
Controllo laser scanning del rifacimento della pavimentazione di una piazza <i>D. Visintini, A. Spangher</i>	1325
Rilievo della vegetazione sommersa della laguna di Venezia utilizzando dati LDCM/OLI simulati con dati EO-1/ALI <i>A. Zandonella</i>	1333
L'informazione geografica nella rilevazione dei numeri civici <i>A. Zullo</i>	1341
Confronto, su territorio campano, tra modello geoidico EGM2008 e modello di ondulazione da grigliati <i>M. Pepe, G. Prezioso, R. Santamaria</i>	1349
La qualità dell'informazione volontaria nei sistemi informativi geografici: alcune riflessioni <i>L. Criscuolo, P. Carrara, G. Bordogna, M. Pepe</i>	1357

Il riconfinamento della pertinenza dell'ex linea ferrata a scartamento ridotto dismessa Palermo-Corleone-San Carlo nell'ambito del progetto di conversione in piste ciclabili e percorsi <i>L. Di Marco</i>	1365
La realizzazione della componente italiana dei servizi Pan-Europei Land Cover del GMES/GIO 2011-2013 <i>Valter Sambucini, Nico Bonora, Ines Marinosci, Michele Munafò</i>	1373
Provincia di Vicenza: armonizzazione dei dati e interoperabilità <i>M. Cominato</i>	1375
Il sistema informativo SISBON. Un esempio di gestione integrata della banca dati dei siti interessati da procedimento di bonifica in Toscana <i>M. Bazzani, C. Berti, C. Licciardello, S. Menichetti, B. Sandri</i>	1379
Realizzazione di cartografia di dettaglio di area franosa attraverso l'uso di UAV planante Sensefly e software innovativo APS per generare ortofoto, DSM e DTM <i>D. Ballavita, L. Tolomei, A. Mazzitelli</i>	1387